

II-7 鉛直壁前面の便食地形

徳島大学 工学部 正員 三井 宏

1. この研究の目的

沿岸漂砂が卓越している海岸で漂砂の供給が減少または停止したとき、その海岸では次のような問題が起る。
(1) 近い将来、海岸線は大きく後退するだろうか、土木構造物でこの後退を食い止められるか？
(2) 構造物によって砂と土が運ばれ、その構造物の規模が大きくなる程度に目撃し得る。

上の現象を模型で再現して観察するには、平面水槽に移動床模型海岸を設置し、斜め入射波と長時間作用させたのが適当と思われる。多くの労力と費用かかる上、相似則が明確でない。本研究では次節に述べる特殊な実験手法、すなち、2次元水路に設置した移動床模型海岸に波を入射せらるゝ後、沿岸漂砂量に相当する量の底質を人工的に除去することで3次元現象を再現する手法を用いた。この方法は平面水槽によるよりもさらに相似則が不明確な欠点はあるが、労力、費用をあまりかけずいで比較的大きい模型により、侵食かがなり進行した海岸地形を観察できる利点がある。

2. 実験方法

移動床模型海岸の初期形状は図1に示すように1/15勾配、鉛直壁を碎波点と汀線の中間位置に設置し、底質は比重1.65、中粒粒径0.25mm(沈降速度による自然砂換算粒径0.134mm)の人工輕量砂である。水深50cmの水平部での波を16mmシネカメラで撮影し、Healyの方法で入射波高と反射率を算定した。実験は2種類で、暴風型では入射波高 $H = 9.28\text{ cm}$ 、周期 $T = 0.85\text{ sec}$ 、深海波高 $H_0 = 9.99\text{ cm}$ 、波形勾配 $H_0/L_0 = 0.0835$ 、反射率 $K_R = 0.74$ 、正常型では $H = 7.66\text{ cm}$ 、 $T = 1.55\text{ sec}$ 、 $H_0 = 8.36\text{ cm}$ 、 $H_0/L_0 = 0.022$ 、 $K_R = 0.65$ である。実験手順は造波開始後ずっと動きが激しい地点の底質を平均4l(早期ほど多量)ずつ除去するのであるが、その時間间隔は暴風型では造波開始後20時間までは1時間ごと、以後実験終了の68時間まで除去なしであり、正常型では28.8時間までは1.8時間ごと、以後実験終了の52.8時間まで除去なしである。

3. 実験結果

図1は暴風型地形の時間変化の一例で、造波開始後8時間までは侵食は急激であるがそれ以後の侵食は緩慢となり、堤脚下に洗掘、埋め戻しがくり返された。16時間以後は底質の除去をして、この時点の堤脚は死水領域のようにになり、底質はほとんど動かない。こうして侵食進行後、鉛直壁前面に緩勾配の海底地形まで上る。一方、この海底には、暴風型では砂礫が、正常型では部分重複波による sand wave が見られる。図2および3に示す

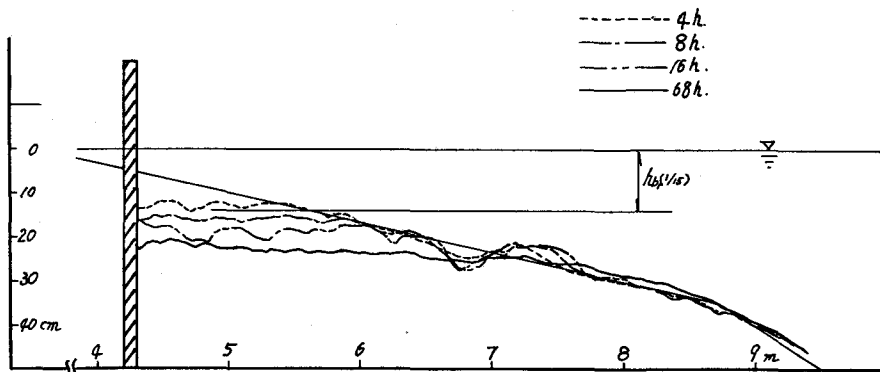


図1 海底地形の時間変化(暴風型)

実線は図1の最終地形のみを示すが示してあるので、破線は無堤の自然海岸に対する同様の条件、方法で行なった実験の最終地形（準平衡地形と定義）である。図中の h_{I+R} は堤川・渡辺による全面移動限界水深で、これより左方に進む $1/1300$ および $1/121 \sim 1/500$ の細線は、進行とともに海底摩擦を減少する波高に対応して移動限界水深の連続形にすると仮定して計算した極限侵食地形である。 $1/40 \sim 1/65$ および $1/140$ の細線は、進行とともに減少する波高に対応して碎波水深の連続形になると仮定した理論上の準平衡地形である。このように無堤時の最終地形は極限侵食地形には至らず、理論上の準平衡地形の1.2~1.3倍の水深（この値は座標と渡辺より異るはず）となるが、この考え方を鉛直壁がある場合に対して応用する。図中12記入の鉛直壁がある場合の移動限界水深 h_{I+R} は、無堤時の h_I の海底における最大水平流速成分に鉛直壁前面の部分重複波 α を等しいと置くを次式から求めたものである。

$$(\pi H_I) / (T \sinh K_R h_I) = \{\pi (1 + K_R) H_{I+R}\} / \{T \sinh K_R h_{I+R}\}$$

無堤時の場合同様、実験結果の最終地形は、二二三で述べた通りである。図中の h_{I+R} は、鉛直壁の $1/4$ 波長前面における準平衡地形に相当する水深で、無堤時の最終地形（破線）に相当する水深と渡辺の資料により計算した海底での最大流速成分と部分重複波の α を等しいと置くを式（上式と同じ形）から計算した値である。正常型の場合、この計算値と実験値はあまり一致していないが、sand waveの平均水深には一致していると思われる。

もし α が小さい場合、 $\sinh K_R h_I \approx h_I$ であるから前式は簡略化され、鉛直壁設置前の前面水深 h_I と設置後の前面水深 h_{I+R} の関係が次式のようになる。

$$h_{I+R} = (1 + K_R)^{2/3} h_I$$

この場合の反射率 K_R は鉛直壁直前の値を採用すべきであり、見掛け上よりも大きくなることを考へる。太字文中で述べた脚水深 h_{I+R} は無堤時の準平衡地形水深 h_I の約2倍にするよう、実験結果もほぼそのようになっている。

4. 結 言

(1) 自然海岸（無堤）の準平衡地形の海底での最大水平流速成分と等しくなるよう部分重複波を生じる水深と鉛直壁前面水深とは密接な関係があるようだ。(2) 沿岸漂砂の供給が停止し、準平衡地形に至つた海岸の比較的浅い地盤は鉛直壁を設けると、その前面水深は設置前の約2倍になる。

この結果から得られた左所見は以上のとおりである。最後にこの実験のすべてをやりとげた当時学生の松本則一君（鷗島組）に厚く感謝する。

参 考 文 献

- 1) 三井・筒井・中村：侵食海岸の準平衡地形、21回海岸工学講演会論文集、昭. 49, pp. 201~206
- 2) 堀川・渡辺：波による砂移動に関する一考察、13回海岸工学講演会論文集、昭. 41, pp. 126~134

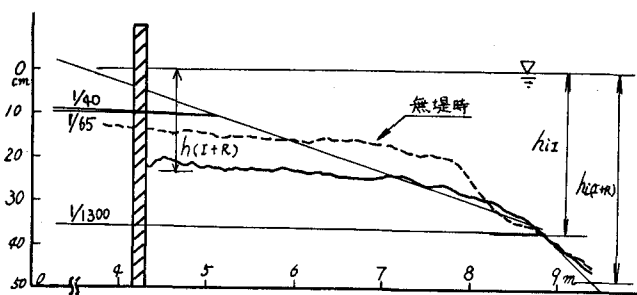


図2 最終地形(暴風型)

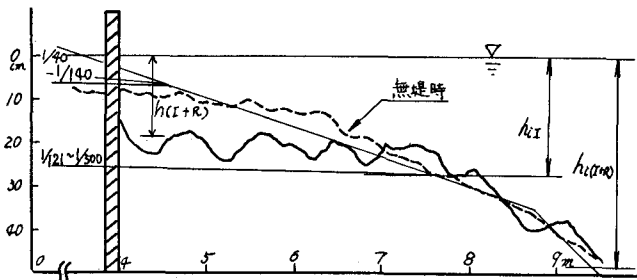


図3 最終地形(正常型)

$$(1 + K_R) h_I = (1 + K_R)^{2/3} h_{I+R}$$

無堤時の場合同様、実験結果の最終地形は、二二三で述べた通りである。図中の h_{I+R} は、鉛直壁の $1/4$ 波長前面における準平衡地形に相当する水深で、無堤時の最終地形（破線）に相当する水深と渡辺の資料により計算した海底での最大流速成分と部分重複波の α を等しいと置くを式（上式と同じ形）から計算した値である。正常型の場合、この計算値と実験値はあまり一致していないが、sand waveの平均水深には一致していると思われる。

もし α が小さい場合、 $\sinh K_R h_I \approx h_I$ であるから前式は簡略化され、鉛直壁設置前の前面水深 h_I と設置後の前面水深 h_{I+R} の関係が次式のようになる。

$$h_{I+R} = (1 + K_R)^{2/3} h_I$$

この場合の反射率 K_R は鉛直壁直前の値を採用すべきであり、見掛け上よりも大きくなることを考へる。太字文中で述べた脚水深 h_{I+R} は無堤時の準平衡地形水深 h_I の約2倍にするよう、実験結果もほぼそのようになっている。

4. 結 言

(1) 自然海岸（無堤）の準平衡地形の海底での最大水平流速成分と等しくなるよう部分重複波を生じる水深と鉛直壁前面水深とは密接な関係があるようだ。(2) 沿岸漂砂の供給が停止し、準平衡地形に至つた海岸の比較的浅い地盤は鉛直壁を設けると、その前面水深は設置前の約2倍になる。

この結果から得られた左所見は以上のとおりである。最後にこの実験のすべてをやりとげた当時学生の松本則一君（鷗島組）に厚く感謝する。

参 考 文 献

- 1) 三井・筒井・中村：侵食海岸の準平衡地形、21回海岸工学講演会論文集、昭. 49, pp. 201~206
- 2) 堀川・渡辺：波による砂移動に関する一考察、13回海岸工学講演会論文集、昭. 41, pp. 126~134